

مجله علمی پژوهشی مکانیک سازه‌ها و شاره‌ها

DOI: 10.22044/jsfm.2021.9263.3090

بررسی غیرخطی آبروالاستیک صفحه ترک دار همسانگرد در جریان فراصوت

سید سعید مظفریان^۱ و جلیل رضایی پژند^{۲*}^۱ دانشجوی دکتری، آزمایشگاه سازه‌های هوشمند و کامپوزیتی، گروه مهندسی مکانیک، دانشکده مهندسی، دانشگاه فردوسی مشهد^۲ استاد، آزمایشگاه سازه‌های هوشمند و کامپوزیتی، گروه مهندسی مکانیک، دانشکده مهندسی، دانشگاه فردوسی مشهد

مقاله مستقل، تاریخ دریافت: ۱۳۹۸/۱/۱۷؛ تاریخ بازنگری: ۱۳۹۹/۰۱/۲۱؛ تاریخ پذیرش: ۱۳۹۹/۰۱/۲۰

چکیده

در مقاله حاضر، مدلی تحلیلی جهت بررسی پاسخ غیرخطی آبروالاستیک صفحه ترک دار در جریان فراصوت ارائه شده است. به این منظور معادله خمس خالص دوبعدی صفحه همسانگرد ترک دار با شرایط تکیه‌گاهی ساده پیشنهاد شده است. برای تشکیل این معادله، مدل سازی صفحه بر اساس تئوری صفحه کلاسیک و روابط غیرخطی ون-کارمن، مدل خط-فner برای ناحیه ترک و تئوری خطی پیستون برای محاسبه فشار آبودینامیکی در نظر گرفته شده است. با اعمال روش گلرکین و مودهای فرضی صفحه، معادلات دیفرانسیل با مشتق‌های جزئی به معادلات دیفرانسیل با مشتق‌های معمولی تبدیل می‌شود. سپس با بهره‌گیری از روش حل عددی رانج-کوتا این معادلات، حل و نتایج بررسی شده است. بعد از مقایسه نتایج با منابع تحلیلی و اطمینان از صحت روش، اثرهای ابعاد و جهت ترک بر پایداری آبروالاستیک صفحه، مرز فلاتر و نوسان‌ها چرخه محدود مطالعه گردید. نتایج نشان می‌دهد، وجود ترک باعث وقوع زود هنگام فلاتر، افزایش بیشینه دامنه نوسان‌ها چرخه محدود و در نهایت کاهش سرعت ناپایداری آبروالاستیک صفحه می‌شود.

کلمات کلیدی: صفحه ترک دار؛ پایداری آبروالاستیک؛ نوسان‌های چرخه محدود؛ فلاتر؛ روش گلرکین.

Investigation of Nonlinear Aero-Elastic of Isotropic Cracked Plate in Supersonic Flow

S. S. Mozafareyan¹, J. Rezaee Pazhand^{2,*}¹ Ph.D. Student, Smart and Composite Structures Lab, Department of Mechanical Engineering, Fedowsi University of Mashhad, Mashhad, Iran.² Professor, Smart and Composite Structures Lab, Department of Mechanical Engineering, Fedowsi University of Mashhad, Mashhad, Iran.

Abstract

In the present study, an analytical model was presented for investigating the nonlinear aero-elastic response of cracked plate in supersonic flow. In this context, two-dimensional equations of cracked induced isotropic plate were proposed considering pure bending loading and simply support boundary condition. To form this equation, plate modeling based on the classical plate theory (CPT) and the von-Karman nonlinear relations. Also, the Line-Spring Model (LSM) and linear piston theory were considered for crack location and aerodynamic effect, respectively. Applying the Galerkin's method and plate assume modes, the partial differential equations (PDEs) are transformed into ordinary differential equations (ODEs). Then, by using Runge-Kutta numerical solution method, these equations (PDEs) were solved and the results were investigated. Eventually, some of effective aero-elastic parameters like flow condition and crack size were prescribed within the limit cycle oscillation (LCO) in flutter status. Results demonstrate that the presence of crack was leading early flutter, increasing the maximum amplitude of the limit cycle oscillations and aero-elastic instability that can ultimately reduce the structural performance.

Keywords: Cracked Plate; Aero-Elasticity Stability; Limit Cycle Oscillation (LCO) ; Flutter; Galerkin's Method.

* نویسنده مسئول؛ تلفن: ۰۵۱۳۸۸۰۵۱۲۳
آدرس پست الکترونیک: jrezaeep@um.ac.ir

امکان پذیر است. این محقق یک سال بعد در بخش دوم پژوهش خود^[۴]، نوسان‌ها را در شرایط آبروودینامیکی مختلف مورد بررسی قرار داد. ژو و می^[۵] در سال ۱۹۹۳ به بررسی المان محدود نوسان‌ها غیرخطی یک صفحه فلزی در جریان فراصوت، همراه با اثرهای دمایی پرداختند. در این پژوهش بر ضرورت تحلیل تنش‌های حرارتی برای فلاتر صفحه‌ای غیرخطی تأکید شد. در این پژوهش نشان داده شده که استفاده از المان‌های مثلثی، پاسخی دقیق‌تر در مسائل غیرخطی و فلاتر خطی همین فرآیند حل المان محدود را برای صفحه‌ای کامپوزیتی انجام دادند. لیبرسکو و همکاران^[۶] در سال ۱۹۹۴ در پژوهشی همین فرآیند حل المان محدود را برای صفحه‌ای کامپوزیتی انجام دادند. لیبرسکو و همکاران^[۷] در سال ۲۰۰۴، فلاتر خطی و غیرخطی یک صفحه تیتانیومی را در جریان فراصوت و توزیع دمایی بالا مورد بررسی قرار دادند. در این پژوهش از تئوری کلاسیک صفحه و روابط غیرخطی ون-کارمن برای سازه و تئوری پیستونی مرتبه اول برای آبروودینامیک استفاده شد. آنان از توزیع دمای غشایی برای اثرهای دمای بالا بهره جستند. از نتایج این تحقیق، کاهش مرز فلاتر و ناپایداری در اثر اثرهای دمایی بود. نوازی و حدادپور^[۸] در سال ۲۰۰۷، طی پژوهشی پایداری آبروترموالاستیک صفحه‌ای از جنس مواد هدفمند^۴ را مورد بحث و بررسی قرار دادند. آنان با بهره‌گیری از اصل همیلتون، بر مبنای تئوری کلاسیک صفحه‌ها برای سازه، تئوری پیستونی مرتبه اول برای آبروودینامیک و نیز توزیع دمای پایایی یک بعدی برای اثرهای حرارتی، معادلاتی هم‌بند^۵ با مشتقه‌های جزئی ارائه دادند. آنان دریافتند که تغییرات یکنواخت و غیر یکنواخت حرارت در راستای ضخامت تأثیری بر مرز پایداری ندارد. سونگ و لی^[۹] در سال ۲۰۱۴ آبروترموالاستیک صفحه‌ای کامپوزیتی متأثر از بار آبروودینامیکی و حرارتی حاصل از امواج شوک را مورد بررسی قرار دادند. این پژوهش افزایش تغییرات دمایی را همراه با افزایش ناپایداری آبروترموالاستیک صفحه نشان می‌داد. موسی زاده و همکاران^[۱۰] در سال ۲۰۱۵ به تحلیل آبروترموالاستیک صفحه‌ای با فرض خمش استوانه‌ای پرداختند. آنان این صفحه فلزی را با روش‌های گلرکین^۶ و حجم محدود

۱- مقدمه

فلاتر صفحه‌ای^۱ نوعی ناپایداری دینامیکی است که حاصل برهم‌کنش نیروهای آبروودینامیکی و خواص الاستیک سازه است و روی یک سمت سازه‌های هوایی مانند پوسه‌های فضایی رخ می‌دهد^[۱]. سازه‌های فضایی مانند بالک موشک‌ها و قسمتی از پوسه‌یک بال، این پدیده را تجربه می‌کنند. پس از وقوع فلاتر صفحه‌ای، نوسان‌ها صفحه با سیکلی محدود ادامه پیدا می‌کنند که این نوسان در حوزه زمان، می‌تواند باعث پدیدهایی مانند خستگی شود که باعث ضعف، تغییر شکل و در نهایت به تخریب آن می‌شود. جهت پیش‌بینی رفتار سازه‌های هوایی، قسمت‌های مختلف آن‌ها عموماً به صورت تیر یا صفحه در نظر گرفته می‌شود. در نتیجه مهم است، در مدل‌سازی از تئوری‌های مناسب برای نزدیک شدن به رفتار واقعی سازه‌ها توجه کرد.

دیگر مواردی که در نظر گرفتن آن در طراحی و تحلیل سازه‌های هوایی ضروری به نظر می‌رسد، ترک‌های بوجود آمده حین فرآیند ساخت و نیز پس از باربرداری آنهاست. وقوع ترک در طول عمر سازه‌ها بسیار محتمل است؛ بنابراین هنگام استفاده از سازه‌های ترک خورده بدون تأیید اینمی، می‌تواند با خطرهای متعددی همراه باشد^[۲]. این ترک‌ها باعث تغییر در مشخصه‌های آبروالاستیک صفحه در شرایط بارگذاری می‌شوند.

در ادامه به مهم‌ترین پژوهش‌های انجام شده در زمینه آبروالاستیسیته صفحه‌های بدون ترک، آبروالاستیسیته صفحه‌های دارای ترک و ارتعاشات صفحه‌های دارای ترک پرداخته می‌شود.

داول^[۳] در سال ۱۹۶۶ در پژوهشی نوسان‌های غیرخطی و اثر پارامترهای مختلف بر پاسخ صفحه را مورد بحث و بررسی قرار داد. اثرهای پارامترهایی همچون نسبت منظری صفحه، نسبت جرمی، فشار استاتیک و نیروی داخل صفحه (مانند اثرهای دمایی) مورد تحلیل قرار گرفت. این محقق دریافت که برای یک صفحه کمانش یافته تحت اثر فشار آبروودینامیک، نوسان‌های همساز غیر ساده^۲ اما متناوب^۳

⁴ Functionally Grade Martial (FGM)

⁵ Couple

⁶ Galerkin's Method

¹ Panel Flutter

² Nonsimple Harmonic

³ Periodic

جهتیه بر مشخصه‌های آبروالاستیسیته یک صفحه مربعی را مطالعه کردند. از نتایج این پژوهش این بود که در برخی موقعیت‌ها و ابعاد، ترک باعث تأخیر در فلاٹر می‌شود. عبدالله و همکاران [۱۷] در سال ۲۰۱۸، آبروالاستیسیته صفحه کامپوزیتی با ترک لبه‌ای را مورد تحلیل قرار دادند. آنان با استفاده روش المان محدود برای سازه و برای آبرودینامیک و همبندی کامل بین این دو مدل، تأثیر پارامترهای ترک و زوایای الیاف بر فلاٹر را مورد بحث قرار دادند. آنان دریافت که برخلاف انتظار در برخی زوایای الیاف و ابعاد ترک، فلاٹر دیرتر اتفاق می‌افتد.

رایس و لوی [۱۸] در سال ۱۹۷۲ برای اولین بار خط ترک پیوسته را با مدل خط-فتن^۱ (LSM) ارائه کردند. آنان بر مبنای تئوری کلاسیک صفحه‌ها، منتجه‌های کشش و خمش ناحیه ترک را بر اساس منتجه‌های کشش و خمش داخلی در دوردست فرمول بندی کردند. در این پژوهش با در نظر گرفتن فرض تنش صفحه ضربی شدت تنش برای این صفحه دارای ترک مرکزی تعیین شد. وو و شین [۱۹] در سال ۲۰۰۵، پاسخ غیر خطی دینامیکی و ناپایداری صفحه ترک‌دار را به صورت تحلیلی بدست آوردند. آنان با کمک تئوری کلاسیک صفحه‌ها و روابط غیر خطی ون-کارمن معادله حرکت خمشی را تشکیل دادند. سپس با کمک روش گلرکین به حل معادلات پرداختند. در این تحقیق اثرهای نسبت منظری صفحه و اندازه ترک، مورد بررسی قرار گرفت. نتایج این پژوهشگران نشان داد که افزایش نسبت ترک یا بار داخل صفحه باعث کاهش فرکانس طبیعی سازه می‌شود. ایسرر و همکاران [۲۰] در سال ۲۰۰۹، صفحه‌ای همسانگرد با ترک مرکزی را به شیوه تحلیلی مورد بررسی و تحلیل قرار دادند. آنان با استفاده از مدل خط-فتن، فرکانس اول صفحه‌های سالم و ترک‌دار با شرایط مرزی مختلف را محاسبه کردند. از مشاهدات این پژوهش، کاهش فرکانس طبیعی اول در ترک بود. اسماعیل و کارتمل [۲۱] در سال ۲۰۱۲ کار ایسرر و همکاران [۲۰] را با در نظر گفتن زاویه برای ترک مرکزی صفحه همسانگرد ادامه داد. باس و ماهانتی [۲۲] در سال ۲۰۱۳، کار اسماعیل و کارتمل [۲۱] را با تغییر مکان ترک در راستای خط ترک ادامه دادند. دیبا و همکاران [۲۳] در

مورد بحث قرار دادند. در این تحلیل آبرودینامیک‌های ناویراستوکس و نیز تئوری پیستونی مرتبه اول و سوم مورد استفاده و مقایسه شد. از مهم‌ترین نتایج این تحقیق، تعیین مرز فلاٹر پوسته با احتیاط متغیر با استفاده از معادلات جریان پتانسیل (غیرلزج) و جریان ناویراستوکس (لزج) بود. جیانگ و لی [۱۱] در سال ۲۰۱۸، تحلیل المان محدود آبروترمولاستیک یک صفحه ذوزنقه‌ای کامپوزیتی را ارائه کردند. این مطالعه با شرایط جریان فراصوت وجود امواج شوک صورت گرفت. این محققان نشان دادند که با افزایش زوایای الیاف کامپوزیت حرارتی بحرانی در ابتدا افزایش و سپس به سرعت کاهش می‌یابد.

چن و لین [۱۲] در سال ۱۹۸۵، مسئله فلاٹر صفحه‌ای نازک همسانگرد با ترکی لبه‌ای را، به روش المان محدود مورد تحلیل قرار دادند. معادلات المان محدود آنان بر مبنای تئوری کلاسیک و روابط غیرخطی ون-کارمن و نیز تئوری خطی مرتبه اول پیستون تشکیل داده شد. در این تحقیق دریافتند که ترک باعث کاهش نقطه واگرایی و فلاٹر می‌شود. پیداپارتی و چانگ [۱۳] در سال ۱۹۹۸ با روش المان محدود، به تحلیل فلاٹر صفحه‌ای کامپوزیتی با ترک لبه‌ای پرداختند. نتایج آن‌ها نشان می‌داد که در بیشتر زوایای الیاف، ترک باعث وقوع زودتر فلاٹر شده و در برخی زوایا در رفتاری متناقض فلاٹر دیرتر حادث می‌شود. وانگ و همکاران [۱۴] در سال ۲۰۰۵، به بررسی واگرایی و فلاٹر یک صفحه یکسرگیردار کامپوزیتی با ترک لبه‌ای پرداختند. این صفحه دارای نسبت منظری بالا بود که در مدل‌سازی، به صورت یک تیر یک بعدی با همبندی خمش-پیچش مدل شد. آنان دریافتند که ترک، بسته به زاویه الیاف باعث کاهش یا افزایش واگرایی و فلاٹر می‌شود. نتایج این پژوهش به یک بال کامپوزیتی تعمیم داده شد. ناتاراجان و همکاران [۱۵] در سال ۲۰۱۳، تحلیلی برای فلاٹر صفحه‌ای از جنس مواد مدرج تابعی با ترک مرکزی، به روش المان محدود ارائه کردند. آنان برای مدل‌سازی از تئوری مرتبه اول تغییر شکل برشی سازه و از تئوری مرتبه اول خطی آبرودینامیک استفاده کردند. نتایج به دست آمده نشان می‌دهد که فرکانس و فشار بحرانی با افزایش طول ترک کاهش یافته و در صورت هم راستا شدن ترک به زاویه جریان حداقل می‌شود. اسدی گرجی و همکاران [۱۶] در سال ۲۰۱۵، تأثیر یک ترک سراسری تک

^۱ Line-Spring Model (LSM)

این معادله دیفرانسیل با مشتق‌های جزئی، با کمک روش گلرکین و مودهای فرضی به معادلات دیفرانسیل با مشتق‌های معمولی تبدیل می‌شوند. معادلات دیفرانسیل با مشتق‌های معمولی با استفاده از روش رانج-کوتای مرتبه ۴ و ۵ و در نظر گرفتن شش مود در طول صفحه (x) و یک مود در عرض صفحه (y) حل می‌شود. صفحه مربعی مورد نظر دارای تکیه‌گاه ساده در تمامی وجوه است. پس از بی‌بعد سازی پارامترها این حل انجام می‌شود و در ادامه اثرهای ابعاد و جهت ترک و نیز شرایط ورودی هوا بر پایداری آبروالاستیسیتی، نقطه فلاتر و نوسان‌ها چرخه محدود مورد بحث و تحلیل قرار می‌گیرد.

۲- معادلات حاکم

مدل صفحه دارای ترک‌های مرکزی، تحت جریان فراصوتی در شکل ۱ نشان داده شده است. L_1 و L_2 طول، عرض و ضخامت صفحه، V_∞ سرعت جریان آزاد هوا، Δp فشار آبودینامیک یکنواخت حاصل از جریان هوا، a و b نصف طول ترک است.

صفحه‌های که تحت جریان متفوّق صوت قرار دارند، عموماً صفحه‌های نازک هستند. در این صورت می‌توان با تئوری صفحه کلاسیک بر مبنای فرض کرشهف، به مدل سازی آن‌ها پرداخت. میدان جابجایی بر اساس این تئوری، میدان جابجایی صفحه (u, v, w) به صورت زیر است [۲۸]:

$$\begin{aligned} u &= u_0 - z \frac{\partial w}{\partial x} \\ v &= v_0 - z \frac{\partial w}{\partial y} \\ w &= w \end{aligned} \quad (1)$$

جهت تشکیل معادلات حاکم فرضیات زیر در نظر گرفته می‌شود:

- از نیروهای برشی صرف نظر می‌شود.
- از اینرسی دورانی صرف نظر می‌شود.
- از جابجایی در طول و عرض صفحه (u و v) صرف نظر می‌شود.

رابطه کرنش-جابجایی را بر اساس تئوری غیرخطی صفحه ون-کارمن و فرضیات در نظر گرفته شده، به صورت زیر خواهد بود [۲۸]:

سال ۲۰۱۴ ارتعاشات غیرخطی صفحه‌ای با ترک زاویدار و مرکزی را مورد بحث و تحلیل قرار دادند. آنان با استفاده از مدل آشفتگی، اثرهای زاویه ترک، طول ترک و مکان نیروی خارجی بر مشخصه دینامیکی صفحه را مورد ارزیابی قرار دادند. نتایج نشان می‌دهد که دامنه ارتعاشات غیرخطی به شدت به خواص ترک بستگی دارد. جوشی و همکاران [۲۴] در سال ۲۰۱۵ به بررسی اثرهای حرارتی بر ارتعاشات صفحه همسانگرد ترک دار پرداخت. آنان با استفاده از تئوری کلاسیک و فرمول غیرخطی برگ، اثرهای همبند ترک-دما را بر مشخصات دینامیکی بررسی کردند. از نتایج این تحقیق کاهش فرکانس طبیعی اول با اثرهای همبند بود. جوشی و همکاران [۲۵] یک سال بعد همین پژوهش را برای صفحه ترک دار کامپوزیتی با در نظر گرفتن اثر دما انجام دادند. گوپتا و همکاران [۲۶] در سال ۲۰۱۶، به تأثیر زوایای الیاف بر ارتعاشات غیرخطی میکرو صفحه‌ای با ترک مرکزی پرداختند. این محققان با استفاده از تئوری کلاسیک صفحه و نیز اضافه کردن اثرهای میکروسازه‌ای با تئوری بهبود یافته تنش همبند^۱ معادلات خمی صفحه را تشکیل دادند. آنان اثرهای نسبت منظری صفحه، اندازه ترک و زوایای الیاف برای شرایط مرزی مختلفی را حل کردند. نتیجه حاصل از این پژوهش نشان داد که وجود دو ترک بر دمای کمانش بحرانی و فرکانس طبیعی تأثیر می‌گذارد. معزز و همکاران [۲۷] در سال ۲۰۱۸، فرکانس طبیعی پوسته استوانه‌ای با ترک زاویدار سطحی را تحلیل و بررسی کردند. آنان از مدل خط-فتراستفاده کردند. این پژوهشگران روش خود را با نرم افزار المان محدود آباکوس مقایسه و نتایج خوبی را مشاهده کردند. در این پژوهش، تأثیرات هندسه پوسته استوانه‌ای و مشخصات ترک بر فرکانس طبیعی بررسی شد.

در مقاله حاضر، مسأله غیرخطی آبروالاستیسیتی صفحه دارای ترک‌های مرکزی برای نخستین بار ارائه شده است. برای رسیدن به حل مذکور، با بهره‌گیری از تئوری کلاسیک، روابط غیرخطی ون-کارمن و مدل خط-فترا ناحیه ترک، بخش سازه مدل می‌شود. روش پیستونی مرتبه اول برای آبودینامیک مورد استفاده قرار می‌گیرد. در نهایت معادله حرکت صفحه ترک دار در جریان فراصوت تشکیل می‌شود.

^۱ Modified Couple Stress Theory

$$+2 \frac{d^2 M_{xy}}{dxdy} - I_0^l \dot{w} - \Delta p - Ps = 0 \quad (6)$$

$I_0^l = \rho h$ جایه‌جایی عرضی، Ps فشار استاتیک محیط و w است.

M_{yy} ، M_{xx} و N_{yy} منتجه‌های نیروی داخل صفحه، M_{xy} و N_{xx} منتجه‌های گشتاور می‌باشند که به این صورت محاسبه می‌شوند:

$$\begin{Bmatrix} N_{xx} \\ N_{yy} \\ N_{xy} \end{Bmatrix} = \int_{-\frac{h}{2}}^{\frac{h}{2}} \begin{Bmatrix} \sigma_{xx} \\ \sigma_{yy} \\ \sigma_{xy} \end{Bmatrix} dz \quad (7)$$

$$\begin{Bmatrix} M_{xx} \\ M_{yy} \\ M_{xy} \end{Bmatrix} = \int_{-\frac{h}{2}}^{\frac{h}{2}} \begin{Bmatrix} \sigma_{xx} \\ \sigma_{yy} \\ \sigma_{xy} \end{Bmatrix} z dz \quad (8)$$

برای مطالعه اثر ترک بر رفتار غیرخطی آبروالاستیک صفحه‌ها، از مدل خط-فنر (LSM) استفاده شده است. مدل خط-فنر براساس تئوری کلاسیک صفحه‌ها (CPT) نخستین بار توسط رایس و لوی [18] ارائه شد. آنان ترک سطحی موجود روی صفحه را به صورت فنری پیوسته مدل‌سازی کردند که مسئله الاستیسیته سه بعدی را به یک مسئله الاستیسیته دو بعدی کاهش می‌دهد. این مدل ارتقابی بین کشش و ممان در محل ترک مرکزی و نقاط دور دست صفحه بر قرار می‌کند. بر مبنای LSM و با توجه به شکل ۲، رابطه بین منتجه‌های نیرو و گشتاور ناحیه ترک مرکزی \bar{N}_{yy} و \bar{M}_{yy} و منتجه‌های نیرو و گشتاور در دور دست $(M^*_{yy} \text{ و } N^*_{yy})$ را بدین صورت ارائه شد [۳۰]:

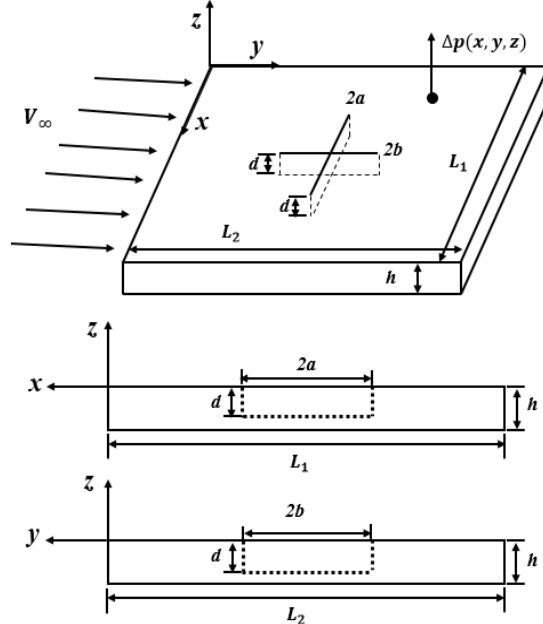
$$\bar{N}_{xx} = N^*_{xx} \times \frac{2b}{(6\alpha_{tb} + \alpha_{tt})(1 - v_y^2)h + 2b} \quad (9)$$

$$\bar{M}_{xx} = M^*_{xx} \times \frac{2b}{(6\alpha_{tb} + \alpha_{tt})(1 - v_y^2)h + 2b} \quad (10)$$

$$\bar{N}_{yy} = N^*_{yy} \times \frac{2a}{(6\alpha_{tb} + \alpha_{tt})(1 - v_x^2)h + 2a} \quad (11)$$

$$\bar{M}_{yy} = M^*_{yy} \times \frac{2a}{(6\alpha_{tb} + \alpha_{tt})(1 - v_x^2)h + 2a} \quad (12)$$

α_{tb} و α_{bb} ضرایب نرمی ترک برای کشش، خمش و کشش-خمش است. این ضرایب به صورت زیر تعریف خواهند شد [۲۰]:



شکل ۱- صفحه همسان‌گرد دارای ترک‌های مرکزی در جریان فراصوت

$$\varepsilon_0 = \left[\frac{1}{2} \left(\frac{\partial w}{\partial x} \right)^2, \frac{1}{2} \left(\frac{\partial w}{\partial y} \right)^2, \frac{\partial w}{\partial x} \frac{\partial w}{\partial y} \right]^T \quad (2)$$

$$\kappa = \left[-\frac{\partial^2 w}{\partial x^2}, -\frac{\partial^2 w}{\partial y^2}, -2 \frac{\partial^2 w}{\partial x \partial y} \right]^T \quad (3)$$

$$\varepsilon = \varepsilon_0 + z\kappa = \begin{Bmatrix} \varepsilon_{xx} \\ \varepsilon_{yy} \\ \gamma_{xy} \end{Bmatrix} \quad (4)$$

رابطه تنש-کرنش چنین تعریف می‌گردد:

$$\begin{Bmatrix} \sigma_{xx} \\ \sigma_{yy} \\ \sigma_{xy} \end{Bmatrix} = \frac{E}{1 - v^2} \begin{bmatrix} 1 & v & 0 \\ v & 1 & 0 \\ 0 & 0 & \frac{1-v}{2} \end{bmatrix} \begin{Bmatrix} \varepsilon_{xx} \\ \varepsilon_{yy} \\ \gamma_{xy} \end{Bmatrix} \quad (5)$$

ضریب الاستیک E و ضریب پواسون v با استفاده از روش بنابر فرضیات بیان شده، مرجع [۲۸] با اساسی حساب تغییرات و نیز مرجع با کمک انرژی و لم اساسی معادله خمش را به صورت (۶) بیان می‌کند:

$$\frac{d}{dx} \left(N_{xx} \frac{\partial w}{\partial x} \right) + \frac{d}{dy} \left(N_{yy} \frac{\partial w}{\partial y} \right) + \frac{d^2 M_{xx}}{dx^2} + \frac{d^2 M_{yy}}{dy^2}$$

$$+2 \frac{d^2}{dxdy} (M_{xy} + \bar{N}_{xy}) - I_0^l \ddot{w} - \Delta p - Ps = 0 \quad (17)$$

۳- روش حل

جهت حل معادله حرکت، ابتدا متغیرها جداسازی می‌شوند.
میدان جابه‌جایی w به صورت شکل مودهای فرضی^۱ و
مختصات تعیین یافته^۲، به شکل زیر در نظر گرفته خواهد
شد:

$$w(x, y, t) = \sum_{i=1}^m \sum_{j=1}^n \varphi_{ij}(x, y) g_{ij}(t) \quad (17)$$

که در آن n و m شماره مود، φ بردار شکل مود و g بردار
مختصات تعیین یافته است. برای یک صفحه با تکیه‌گاه‌های
ساده، شکل مودهای فرضی این چنین تعریف می‌شود [۳۱]:

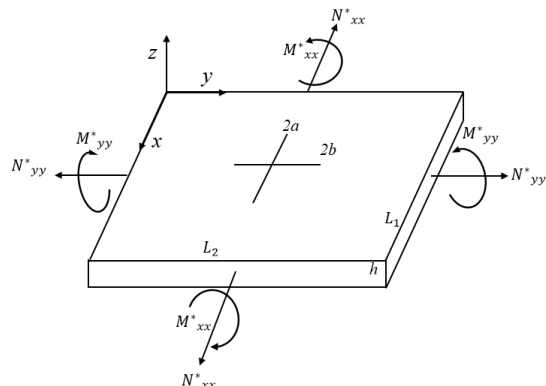
$$\varphi_{ij}(x, y) = \sin\left(\frac{i\pi x}{L_1}\right) \sin\left(\frac{j\pi y}{L_2}\right), \quad i = 1, 2, 3 \dots n, j = 1, 2, 3 \dots m \quad (18)$$

معمولًاً پارامترهای بی بعد به صورت زیر تعریف می‌شوند:

$$\begin{aligned} \xi &= \frac{x}{L_1}, \eta = \frac{y}{L_2}, W = \frac{w}{h}, \tau = \frac{t}{\chi}, \\ \chi &= L_1^2 \sqrt{\frac{\rho h}{D}}, P = \frac{L_1^4 P_S}{Dh}, F = \omega \chi, \\ D &= \frac{h^3 E}{12(1 - v^2)}, \mu = \frac{\rho_\infty L_1}{\rho h}, \\ \lambda &= \frac{2q_\infty L_1^3}{M_\infty D}, \gamma_1 = \frac{h}{L_1}, \gamma_2 = \frac{h}{L_2}, \\ \Gamma_1 &= \frac{a}{L_1}, \Gamma_2 = \frac{b}{L_2}, \end{aligned} \quad (19)$$

λ فشار آبروودینامیک بی بعد، μ نسبت جرمی، τ زمان،
 w فرکانس بعددار، F فرکانس بی بعد و P فشار استاتیک
است.

در ادامه با استفاده از روش گلرکین که براساس
حداقل کردن باقیمانده وزنی است، با ضرب هر معادله از



شکل ۲- نیرو و گشتاور داخلی روی یک صفحه ترک دار

$$\begin{aligned} \alpha_{tt} &= 1.1547\zeta^2 * \\ &\quad \left(\begin{array}{l} 1.98 - 0.54\zeta + 18.56\zeta^2 \\ -33.7\zeta^3 + 99.26\zeta^4 - 211.9\zeta^5 \\ +436.84\zeta^6 - 460\zeta^7 + 289.98\zeta^8 \end{array} \right) \end{aligned} \quad (13)$$

$$\begin{aligned} \alpha_{bb} &= 1.1547\zeta^2 * \\ &\quad \left(\begin{array}{l} 1.98 - 3.28\zeta + 14.43\zeta^2 \\ -31.26\zeta^3 + 63.56\zeta^4 - 103.36\zeta^5 \\ +147.52\zeta^6 - 127.69 + 61.5\zeta^8 \end{array} \right) \end{aligned} \quad (14)$$

$$\begin{aligned} \alpha_{tb} &= 1.1547\zeta^2 * \\ &\quad \left(\begin{array}{l} 1.98 - 1.91\zeta + 16.01\zeta^2 \\ -34.84\zeta^3 + 83.93\zeta^4 - 103.36\zeta^5 \\ +256.72\zeta^6 - 244.67\zeta^7 + 133.55\zeta^8 \end{array} \right) \end{aligned} \quad (15)$$

$\zeta = \frac{d}{h}$ است ($0.1 < \zeta < 0.7$) که عمق ترک است (شکل ۱).
در این پژوهش $\zeta = 0.6$ در نظر گرفته شده است.

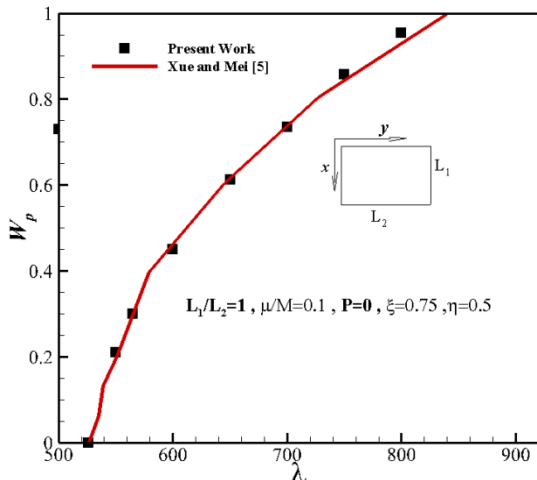
فشار آبروودینامیکی با استفاده از تئوری مرتبه اول
پیستونی به نحو زیر تعریف می‌شود [۳]:

$$\begin{aligned} \Delta p &= \frac{2\rho_\infty}{\beta} \left(\frac{M_\infty^2 - 2}{M_\infty^2 - 1} V_\infty \frac{\partial w}{\partial t} + \frac{\partial w}{\partial x} \right), \\ q_\infty &= \frac{1}{2} \rho_\infty V_\infty^2, \beta = \sqrt{M_\infty^2 - 1} \end{aligned} \quad (16)$$

ρ_∞ چگالی و M_∞ عدد ماخ جریان هوا می‌باشند.
در نهایت رابطه (۶) با اضافه شدن ترک به صورت رابطه
نوشته می‌شود:

$$\begin{aligned} \frac{d}{dx} \left((N_{xx} + \bar{N}_{xx}) \frac{\partial w}{\partial x} \right) + \frac{d}{dy} \left((N_{yy} + \bar{N}_{yy}) \frac{\partial w}{\partial y} \right) \\ + \frac{d^2}{dx^2} (M_{xx} + \bar{M}_{xx}) + \frac{d^2}{dy^2} (M_{yy} + \bar{M}_{yy}) \end{aligned}$$

¹ Assume Mode Shapes
² Generalized Coordinate



شكل ٣ - مقایسه مطالعه حاضر با نتایج مرجع ژو و می [٥]

۲-۴- پاسخ غیرخطی آیروالاستیسیته صفحه ترک دار
رفتار آیروالاستیک صفحه‌ای مربعی با ترک‌های مرکزی و
شرطیت تکیه‌گاهی ساده، برای نسبت پواسون $\nu = 0.3$ مورد
بررسی قرار می‌گیرد. لازم به یادآوری است که نتایج ارائه
شده بعد است.

مطابق شکل ۴ نوسان‌ها صفحه با اعمال جابه‌جایی اولیه قبل از رسیدن به فشار آیرودینامیکی بحرانی ($\lambda_{cr} = 280$ ، λ_{cr} مستهلك شده و به صفر می‌کند که این پایداری صفحه را در $\lambda_{cr} > \lambda$ نشان می‌دهد.

جدول ۱- مقایسه فرکانس طبیعی اول (rad/s) صفحه ترک دار با تکیه گاه ساده

اعاد صفحه	یک ترک a=0.025	دو ترک عمود بر هم a=b=0.025
	کار حاضر [۳۰]	مرجع [۳۰]
$L_1 = 1$	۲۹۳/۰	۲۹۱/۸
$L_2 = 1$		۲۷۴/۶
		۲۷۲/۲
$L_1 = 0/5$	۷۶۴/۰	۷۶۳/۲
$L_2 = 1$		۶۶۹/۳
		۶۶۱/۸
$L_1 = 1$	۶۸۲/۷	۶۷۹/۸
$L_2 = 0/5$		۶۶۹/۳
		۶۶۱/۸
$L_1 = 0/5$	۱۱۷۲/۲	۱۱۶۷/۹
$L_2 = 0/5$		۱۰۹۸/۸
		۱۰۸۹/۱

مجموعه معادلات باقیمانده در شکل مود مربوطه و سپس انتگرال‌گیری دوگانه روی طول و عرض صفحه، می‌توان معادلات حاکم بر حرکت را به شکل رابطه (۲۱) نوشت:

$$\int_0^{L_2} \int_0^{L_1} \varphi_{ij}(x, y) R(\varphi_{ij}(x, y), g_{ij}(t)) dx dy = 0 \quad (1)$$

باقیمانده معادله w است. این باقیمانده بدین صورت تشکیل می‌شوند که مودهای فرضی و مختصات تعیین یافته در رابطه (۲۱) جایگذاری می‌شود. در واقع روش جداسازی متغیرها و باقیمانده وزنی، معادلات با مشتق‌های جزئی^۱ را به معادلات با مشتق‌های معمولی^۲ تبدیل می‌کند. در پایان این مشتق‌های معمولی مرتبه دوم که از جنس $(t)_{ij} g_{ij}$ هستند، با کمک روش عددی رانج-کوتا محاسبه می‌شوند.

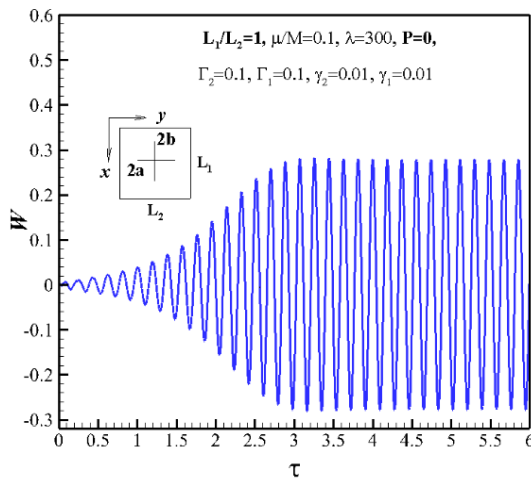
٤- نتائج

۴- اعتبار سنجی

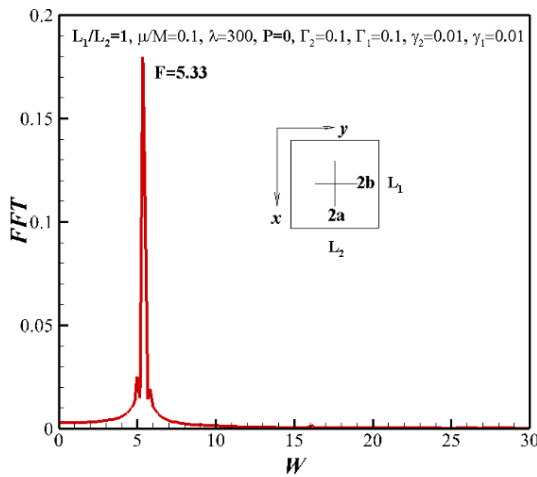
در ابتدا ضروری است که تعداد مودهای مورد استفاده جهت تضمین همگرایی جواب تعیین شود. منابع [۳,۹,۳۱] تعداد مودهای در نظر گرفته شده جهت همگرایی مسئله آیروالاستیک صفحه‌ها سالم و ترکدار را $n = 6$ در راستای x و $m = 1$ در راستای y معرفی کردند. در پروژه حاضر، همین تعداد مود در نظر گرفته شده است. جهت اعتبارسنجی کار حاضر، مقایسه‌ای با مدل آیروالاستیسیته دو بعدی صفحه با منبع ژو و می [۵] انجام گرفت. با توجه به اینکه در شکل ۳ بیشترین درصد خطأ ۲ درصد است، لذا تطابق خوبی را بین پژوهش حاضر و کار ژو و می [۵] نشان می‌دهد. W_p نشان دهنده بیشینه دامنه نوسان‌ها چرخه محدود است. اعتبارسنجی ارتعاشات آزاد صفحه مربعی ترکدار با مرتعج [۳۰] در جدول ۱ آورده شده است. فرکانس اول بی بعد در ابعاد مختلف ترک مقایسه شده است. نتایج فرکانس طبیعی بر بعد، تقطیله، خوب، را نشان داد.

¹ Partial Differential Equation

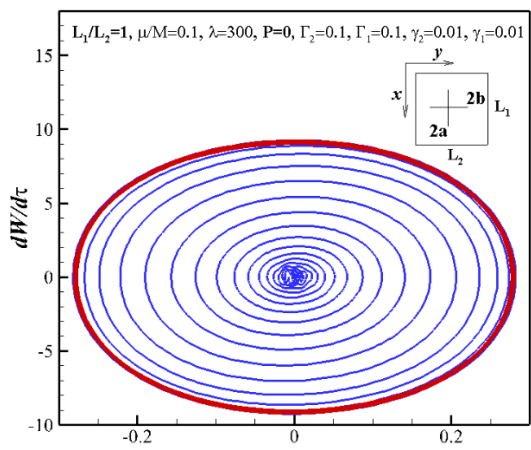
² Ordinary Differential Equation



شکل ۵- نوسان‌ها صفحه ترکدار بر حسب زمان ($\lambda_{cr} < \lambda$)



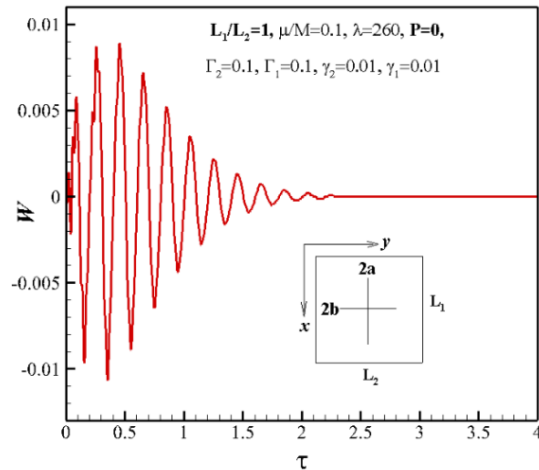
شکل ۶- نمودار طیف فرکانسی صفحه ترکدار ($\lambda_{cr} < \lambda$)



شکل ۷- نمودار فازی صفحه ترکدار ($\lambda_{cr} < \lambda$)

همان‌گونه که در شکل ۵ قابل مشاهده است، ارتعاشات صفحه با افزایش فشار آیرودینامیکی ($\lambda = 300$) با عبور از فشار آیرودینامیکی بحرانی (نقطه فلاتر)، دارای نوسان‌ها چرخه محدود با دامنه $-0.28 \leq \tau \leq 0.28$ می‌شود. در شکل ۶ طیف فرکانسی^۱ بی بعد شده نوسان‌ها چرخه محدود با استفاده تبدیل فوریه سریع^۲ (FFT) نشان داده شده است. در این نمودار بیشترین دامنه، نمایش دهنده فرکانس غالب نوسان‌ها سیکل محدود است. در شکل ۷ نمودار فازی نوسان‌ها صفحه حول یک نقطه تعادل ثابت با شروع از نقطه صفر است. در این نمودار فازی یک حلقه بسته (به رنگ قرمز) با نوسان‌های یکسان در بالا و پایین نقطه تعادل نمایش داده شده است. که این نشان از حرکت هارمونیک ساده صفحه است.

۴-۳- اثر ابعاد و جهت ترک بر آبروالاستیسیته صفحه در ادامه به بررسی تأثیر ابعاد و جهت ترک بر آبروالاستیسیته صفحه پرداخته می‌شود. در شکل‌های ۸ و ۹ به ترتیب، تأثیر اندازه ترک ($\Gamma_2 = 0, \Gamma_1 \neq 0$) بر نوسان‌ها سیکل محدود بر حسب زمان و نمودار فازی در شرایط هندسی و آیرودینامیکی ذکر شده آمده شده است. در شکل ۸ مشاهده



شکل ۸- نوسان‌ها صفحه ترکدار بر حسب زمان ($\lambda_{cr} > \lambda$)

^۱ Frequency Spectrum

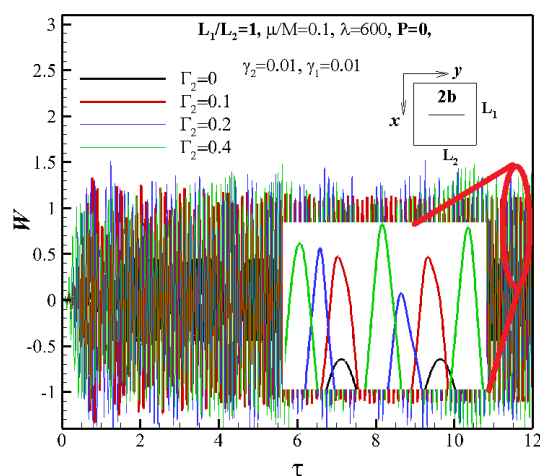
^۲ Fast Fourier Transform

تعادل متقارن است. در این نمودار با افزایش طول ترک، فقط یک حلقه بسته با نقطه تعادل ثابت A قابل مشاهده است که نوسان‌ها در بالا و پایین نقطه تعادل متقارن است؛ بنابراین نوسان‌های صفحه دارای حرکت هارمونیک ساده است.

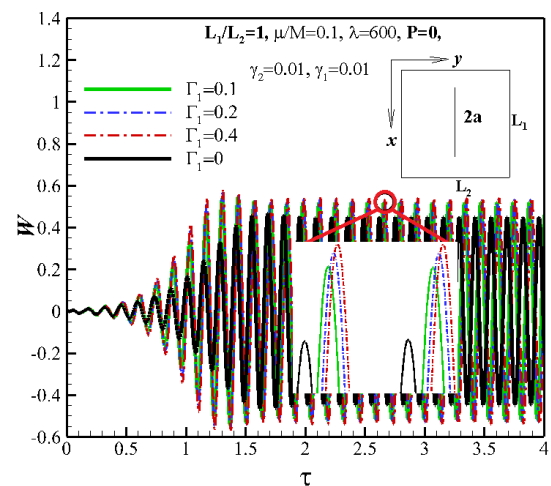
شکل‌های ۱۰ و ۱۱ به ترتیب نوسان‌ها سیکل محدود بر حسب زمان و نمودار فازی را با وجود ترک $\Gamma_2 = 0$ ، $\Gamma_1 \neq 0$ ، $\Gamma_2 = 0$ ، $\Gamma_1 = 0$ در راستای y (موازی با جریان سیال) را نشان می‌دهند. در شکل ۱۰ وجود ترک در راستای y با افزایش اندازه ترک دامنه نوسان‌ها همراه بوده و پایداری آیروالاستیک کاهش می‌یابد. مشاهده می‌شود که برای طول ترک‌های متفاوت می‌یابد. مشاهده می‌شود که برای طول ترک‌های متفاوت می‌یابد. در راستای y، حداقل دامنه نوسان‌ها به $\Gamma_2 = 0/1$ ، $\Gamma_2 = 0$ ، $\Gamma_1 = 0/1$ ، $\Gamma_1 = 0/2$ بوده و حرکت صفحه هنوز نوسان‌های سیکل محدود است. با افزایش طول ترک $\Gamma_2 = 0/2$ و $\Gamma_2 = 0/4$ دیگر حرکت صفحه دارای نوسان‌های با سیکل محدود نیست و صفحه دارای حرکت نامنظم آشوبناک (Chaos) می‌شود.

با مقایسه تأثیر جهت ترک (شکل‌های ۸ و ۱۰) بر رفتار آیروالاستیک صفحه، این نتیجه حاصل می‌شود که ترک در راستای جهت هوا یا عث افزایش بیشتر دامنه نوسان‌ها و میل کردن صفحه به نوسان‌های آشوبناک بیشتر شده و پایداری صفحه را به طور محسوسی کاهش می‌دهد.

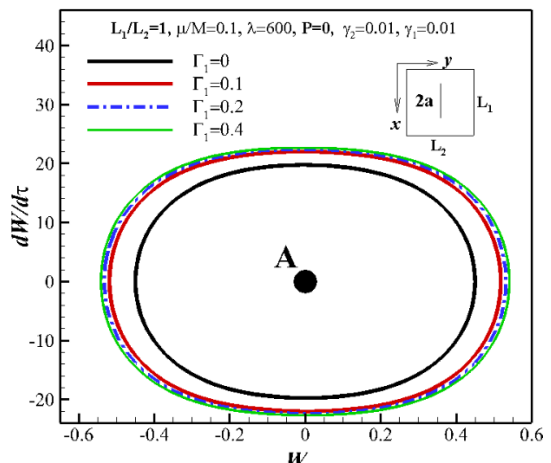
بر اساس شکل ۱۱، نمودار فازی ابعاد ترک ترسیم شده است. در شکل ۱۱ (الف) یک حلقه نا متقارن بسته دیده می‌شود که نشان دهنده حرکت پریودیک غیر هارمونیک است.



شکل ۱۰- مقایسه نوسان‌ها سیکل محدود صفحه ترک دار



شکل ۸- مقایسه نوسان‌ها سیکل محدود صفحه ترک دار

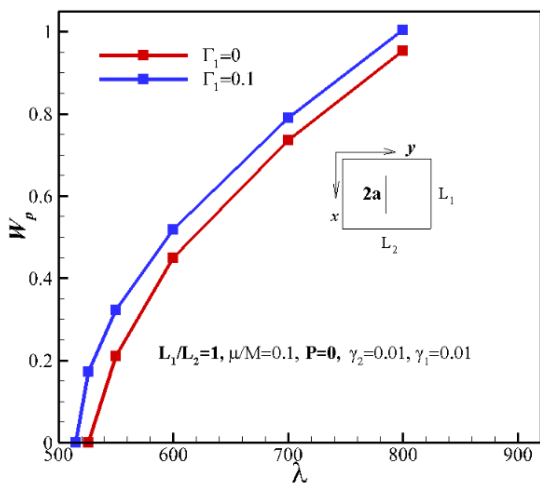


شکل ۹- مقایسه نمودار فاز صفحه ترک دار

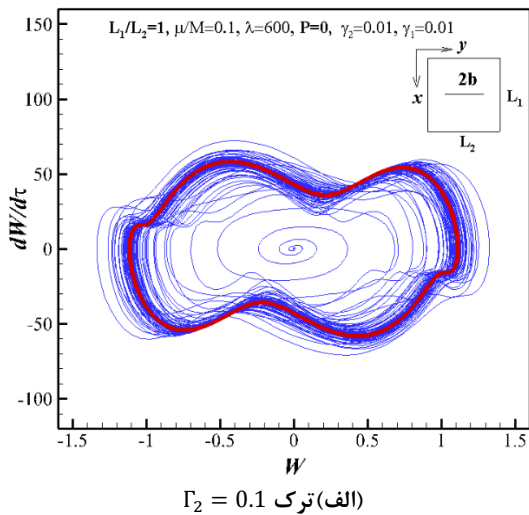
می‌شود که با افزایش طول ترک‌های متفاوت $\Gamma_1 = 0$ ، $\Gamma_1 = 0/4$ ، $\Gamma_1 = 0/2$ ، $\Gamma_1 = 0/1$ در جهت x، دامنه نوسان‌ها به ترتیب $0/488$ ، $0/518$ ، $0/531$ و $0/540$ شد. با افزایش طول ترک، دامنه نوسان‌ها افزایش می‌یابد که دلیل این اتفاق کاهش سفتی سازه متأثر از وجود ترک است؛ بنابراین وجود ترک باعث بوجود آمدن نقص در سازه و افزایش جابه‌جایی صفحه در بارگذاری شده و تخریب آن را تسريع می‌بخشد. لازم به ذکر است، این ترک در راستای عمود بر جریان سیال است. برای طول ترک‌های متفاوت بیان شده، نمودار فاز در شکل ۹ قبل نمایش است. در این نمودار با افزایش طول ترک، فقط یک حلقه بسته با نقطه تعادل ثابت A قابل مشاهده است که نوسان‌ها در بالا و پایین نقطه

در شکل های ۱۱ (ب) و (ج) حرکت آشوبناک با وجود ترک نگه داشتن فشار آیرودینامیک ورودی، تأثیر ابعاد و جهت ترک بررسی شد. در شکل های ۱۲ و ۱۳ بیشینه دامنه نوسان های سیکل محدود W_p صفحه ترک دار بر حسب فشار آیرودینامیک ورودی λ نمایش داده است.

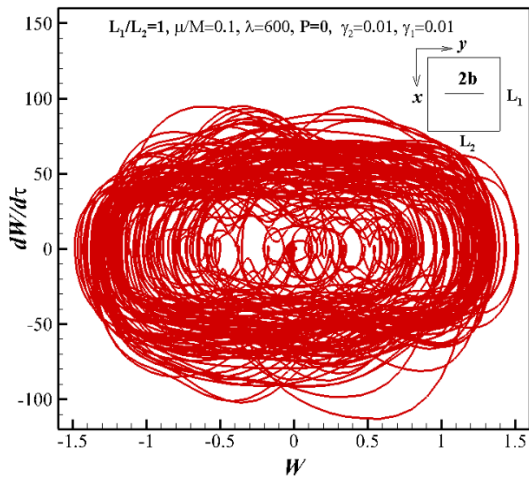
در شکل ۱۲ برای ترک در راستای x ($\Gamma_2 = 0, \Gamma_1 \neq 0$)، نشان داده شده است که با وجود ترک دامنه بیشینه نوسان ها سیکل محدود بیشتر شده، مرز فلاتر عقب تر رفته و زودتر



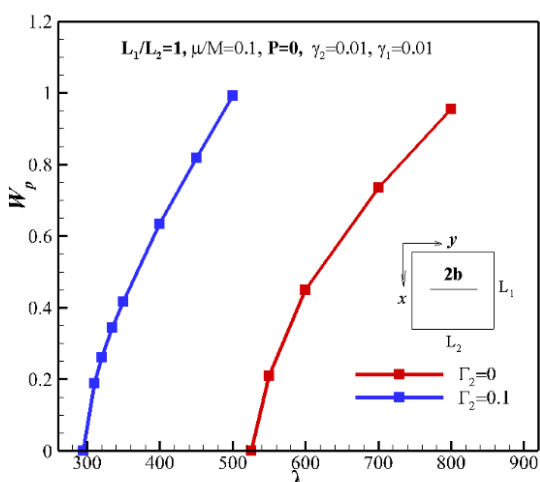
شکل ۱۲- دامنه بیشینه نوسان ها بر حسب فشار آیرودینامیک برای صفحه ترک دار



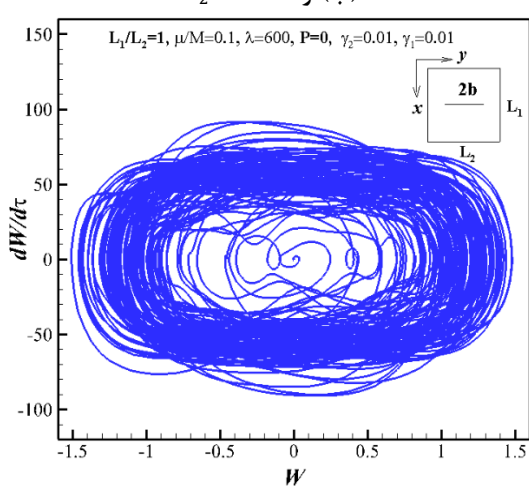
(الف) ترک



(ب) ترک



شکل ۱۳- دامنه بیشینه نوسان ها بر حسب فشار آیرودینامیک برای صفحه ترک دار



(ج) ترک

شکل ۱۱- مقایسه نمودار فاز صفحه ترک دار

- حساسیت بیشتری برخوردار بوده و به بررسی بیشتر نیاز دارد.
- با وجود ترک، در فشارهای آبرودینامیکی بالا امکان خارج شدن صفحه از رفتار نوسانی سیکل محدود به صورت هارمونیک ساده و حتی پریودیک و میل به سمت ارتعاشات صفحه با رفتار آشوبناک وجود خواهد داشت.

۶- مراجع

- [1] Parka JS, Kima JH, Moon SH (2005) Thermal post-buckling and flutter characteristics of composite plates embedded with shape memory alloy fibers. *Comp Part B: Eng* 36 (8): 627-636.
- [2] Fakoor M, Mehri Khansari N (2018) General mixed mode I/II failure criterion for composite materials based on matrix fracture properties. *Theo and App Fract Mech* 96: 428-442.
- [3] Dowell EH (1966) Nonlinear oscillations of a fluttering plate. *AAA* 4: 1267-1275.
- [4] Dowell EH (1967) Nonlinear oscillations of a fluttering plate II. *AAA*: 1856-1862.
- [5] Xue DY, Mei CH (1993) Finite element nonlinear panel flutter with arbitrary temperatures in supersonic flow. *AIAA* 31: 154-162.
- [6] Zhou RC, Xue DY, Mei Ch (1994) Finite element time domain—modal formulation for nonlinear flutter of composite panels. *AIAA* 32 (10): 2044-2052.
- [7] Librescu L, Marzocca P, Silva WA (2004) Linear/nonlinear supersonic panel flutter in a high-temperature field. *Jou of Aircr* 41: 918-924.
- [8] Navazi HM, Haddadpour H (2006) Aerothermoelastic stability of functionally graded plates. *Com Stru* 80 (4): 580-587.
- [9] Song ZG, Li FM (2014) Aerothermoelastic analysis of nonlinear composite laminated panel with aerodynamic heating in hypersonic flow. *Comp: Part B* 56: 830-839.
- [10] موسی زاده ح، قدیری دهکردی ب، راسخ م (۱۳۹۴) بررسی آبروترمولاستیسیته پوسته با خمس استوانه‌ای به روش حجم محدود و باقی‌مانده وزنی گلرکین. *مجله مکانیک تربیت مدرس دوره ۱۵(۸)*: ۳۲۲-۳۱۲.
- [11] Jiang G, Li F (2018) Aerothermoelastic analysis of composite laminated trapezoidal panels in supersonic airflow. *Comp Stru* 200: 313-327.
- [12] Chen WH, Lin HC (1985) Flutter analysis of thin cracked panels using the finite element method. *AIAA 23(5)*: 795-801.

اتفاق می‌افتد؛ بنابراین ناپایداری صفحه بیشتر می‌شود. در شکل ۱۳ پاسخ نوسان‌ها آبروترمولاستیسیته صفحه‌ای با ترک $\Gamma_2 \neq 0, \Gamma_1 = 0$ در راستای y (راستای y نمایش داده شده است. وجود ترک در راستای y همانند ترک در راستای x باعث تسریع در وقوع فلاتر شده و مرز پایداری را کاهش می‌دهد. با مقایسه شکل‌های ۱۲ و ۱۳ مشخص می‌شود که وجود ترک در راستای y ورودی روی صفحه، تأثیر بیشتری روی ناپایداری آبروترمولاستیک صفحه داشته و فلاتر سریع‌تر حادث می‌شود.

۵- نتیجه گیری

در این مقاله رفتار دو بعدی غیر خطی آبروترمولاستیسیته صفحه‌ای با ترک‌های مرکزی و شرایط مرزی تکیه‌گاهی ساده، در جریان فرآصنوت مطالعه شده است. تئوری پیستونی مرتبه اول برای فشار آبرودینامیک، روابط ون-کارمن برای اثرهای غیرخطی صفحه و روش خط-فنر برای عبارات ترک مورد استفاده قرار گرفت. معادلات دیفرانسیل با مشتق‌های جزئی با استفاده از اصل همیلتون استخراج و با کمک روش گلرکین و مودهای فرضی، به معادلات با مشتق‌های معمولی تبدیل و با روش عددی رانج-کوتا محاسبه گردید. نتایج بررسی پارامترهای مختلف به شکل زیر خلاصه می‌شود:

- وجود ترک (در راستای x یا y) باعث وقوع زود هنگام فلاتر، افزایش بیشینه دامنه نوسان‌های چرخه محدود و در نهایت کاهش مرز پایداری صفحه می‌شود. این بدان معناست که در فشارهای آبرودینامیکی بالاتر، سازه ترک دار جایه‌جایی‌های بیشتری تجربه کرده و احتمال تخریب زودهنگام آن وجود دارد.
- افزایش طول ترک تأثیر کمی بر افزایش دامنه بیشینه نوسان‌های سیکل محدود دارد؛ لذا وجود ترک، فارغ از ابعاد آن باعث کاهش سفتی سازه و مرز پایداری آبروترمولاستیک می‌شود.
- وجود ترک در راستای y (جهت هوازی روی صفحه) تأثیر بیشتری در ناپایداری آبروترمولاستیک صفحه نسبت به ترک در راستای x دارد و باعث وقوع زود هنگام فلاتر می‌شود. این نتیجه نشان می‌دهد که ترک عمود بر راستای جریان هوا، از

- through surface crack of arbitrary orientation and position. *Soun and Vibr* 332(26): 7123-7141.
- [23] Diba F, Esmailzadeh E , Younesian D (2014) Nonlinear vibration analysis of isotropic plate with inclined part-through surface crack. *Nonlin Dyna* 78(4): 2377-2397.
- [24] Joshi PV, Jain NK , Ramtekkar GD (2015) Effect of thermal environment on free vibration of cracked rectangular plate: An analytical approach. *Th-Wal Stru* 91: 38-49.
- [25] Joshi PV, Jain NK , Ramtekkar GD, Virdi GS (2016) Vibration and buckling analysis of partially cracked thin orthotropic rectangular plates in thermal environment. *Th-Wal Stru* 109: 143-158.
- [26] Gupta A, Jaina NK, Salhotra R, Rawani AM, Joshi PV (2016) Effect of fibre orientation on non-linear vibration of partially cracked thin rectangular orthotropic micro plate: An analytical approach. *Mech Scie* 105: 378-397.
- [27] Moazzez K, Saeidi Googarchin H, Sharifi SMH (20118) Natural frequency analysis of a cylindrical shell containing a variably oriented surface crack utilizing Line-Spring model. *Th-Wa Stru* 125: 63-75.
- [28] Reddy JN (2004) Mechanics of laminated composite plates and shells, theory and analysis, Second ed, CRC Press, Florida.
- [29] Leissa W (1969) Vibration of Plates. NASA 70N18461, Washington DC, United States.
- [30] Joshi PV, Jain NK, Ramtekkar GD (2014) Analytical modeling and vibration analysis of internally cracked rectangular plates. *Sou and Vibr* 333(22): 5851-5864.
- [31] Kouchakzadeha MA, Rasekh M, Haddadpour H (2010) Panel flutter analysis of general laminated composite plates. *Comp Struc* 92(12): 2906-2915.
- [13] Pidaparti RMK (1997) Free vibration and flutter of damaged composite panels. *Comp Stru* 38(1-4): 477-481.
- [14] Wang K, Inman DJ, Farrar CR (2005) Crack-induced Changes in Divergence and Flutter of Cantilevered Composite Panels. *Stru Hea Moni* 4: 377-392.
- [15] Natarajan S, Ganapathi M, Bordas S (2013) Supersonic flutter analysis of thin cracked functionally graded material plates. *Fron in Aero Eng* 2(2): 91-97.
- [16] AsadiGorgi H, Dardel M, Pashaei MH (2015) Effect of all-over part-through crack on aeroelastic characteristics of rectangular panels. *App Math Mod* 39(23-24): 7513-7536.
- [17] Abdullah NA, Sosaa J LC, Akbar M (2018) Aeroelastic assessment of cracked composite plate by means of fully coupled finite element and Doublet Lattice Method. *Comp Stru* 202: 151-161.
- [18] Rice JR, Levy N (1972) The part through surface crack in an elastic plate. *App Mech* 39(1): 185-194.
- [19] Wu GY, Shih YSH (2005) Dynamic instability of rectangular plate with an edge crack. *Compu and Stru* 84(1-2): 1-10.
- [20] Israr A, Cartmell MP, Manoach E, Trendaf I (2009) Analytical Modeling and Vibration Analysis of Partially Cracked Rectangular Plates With Different Boundary Conditions and Loading. *App Mech* 76: 11005-11013.
- [21] Ismail R, Cartmell MP (2013) An investigation into the vibration analysis of a plate with a surface crack of variable angular orientation. *Sou and Vibr* 331(12): 2929-2948.
- [22] Bose T, Mohanty AR (2013) Vibration analysis of a rectangular thin isotropic plate with a part-